

ЧИСЛЕННОЕ ИССЛЕДОВАНИЕ КОЛЛАПСА ЛЕНГМЮРОВСКИХ ВОЛН В МАГНИТНОМ ПОЛЕ

А. С. Липатов

На основе численного эксперимента установлено существование коллапса ленгмюровских волн в магнитном поле для начального распределения электрического поля в виде дипольной каверны.

В настоящее время подробно исследована динамика коллапса дипольного пакета ленгмюровских волн в отсутствии магнитного поля в плоском и аксиально-симметричном случаях [1 – 3]. Показано, что коллапс имеет изотропный автомодельный режим. В случае коллапса в магнитном поле имеется лишь асимптотическое решение, указывающее на анизотропный режим схлопывания [4]. Настоящая работа посвящена численному исследованию коллапса ленгмюровских волн в магнитном поле в дипольной аксиально-симметричной модели.

Следуя [1 – 5] запишем в безразмерном виде основную систему уравнений с учетом магнитного поля, направленного вдоль оси z :

$$2i\rho_t + \Delta\rho + A\Delta_{\perp}\Psi = \nabla(\eta\nabla\Psi), \quad \Delta\Psi = \rho \quad (1)$$

$$\eta_{tt} - \Delta\eta = \Delta|\nabla\Psi|^2, \quad \Delta_{\perp} = \frac{1}{r}\frac{\partial}{\partial r}r\frac{\partial}{\partial r},$$

где ρ, Ψ – комплексные заряд и электростатический потенциал поля, η – вариация концентрации плазмы. Переход от размерных переменных к безразмерным определяется формулами:

$$t = \frac{3M}{m\omega_p} t', \quad r = 3\sqrt{\frac{M}{m}} \lambda_D r', \quad A = 3\frac{M}{m} \frac{\omega_H^2}{\omega_p^2} \quad (2)$$

$$\delta n = \frac{m}{3M} n_0 \eta + |\nabla\Psi|^2 = \frac{16\pi m}{3M} n_0 T_e |\nabla\Psi'|^2,$$

где ω_p – электронная плазменная частота, λ_D – дебаевский радиус, n_0 – невозмущенная концентрация плазмы, T_e – температура электронов, ω_H – электронная циклотронная частота. Система (1) имеет интегралы сохранения:

$$I_1 = \int |\nabla\Psi|^2 dr \quad (\text{число плазмонов}) \quad (3)$$

$$I_2 = \int \left\{ \frac{V^2}{2} + \frac{\eta^2}{2} + |\rho|^2 + \eta |\nabla\Psi|^2 + A |\nabla_{\perp}\Psi|^2 \right\} dr \quad (4)$$

V – макроскопическая скорость плазмы.

В начальный момент времени $t = 0$ задается распределение заряда в цилиндре ($|z| \leq \pi$, $r \leq \pi$) следующим образом:

$$\rho = \begin{cases} \rho_0 \sqrt{\omega} \sin \frac{\pi z}{2}, & \omega \geq 0 \\ 0, & \omega < 0 \end{cases} \quad \omega = 1 - \frac{r^2 + z^2}{4}. \quad (5)$$

Кроме того, считается, что при $t = 0$

$$\eta = - |\nabla \Psi|^2, \quad \eta_t = 0. \quad (6)$$

На границе расчетной области $z = \pm \pi$, $r = \pi$ ставятся однородные граничные условия второго рода $\frac{\partial}{\partial n} \rho = \frac{\partial}{\partial n} \Psi = \frac{\partial}{\partial n} \eta = 0$. Такие условия определяют анизотропную дипольную каверну с осью вдоль магнитного поля, сохраняя I_1 , I_2 в рассматриваемом цилиндре, причем попечный размер каверны I_1 много больше продольного I_{11} .

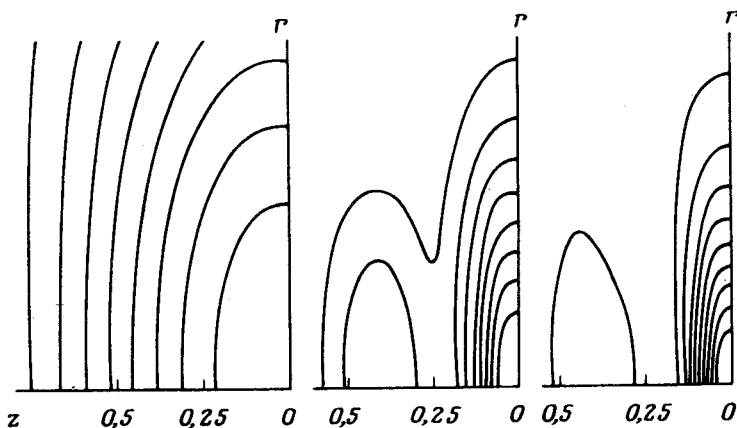


Рис. 1. Линии уровней $|E|^2$ в режиме $A = 100$, $\rho_0 = 19$ для $t = 0; 0,125; 0,175$; $|E|_{max}^2 = 97,4; 384; 1364$

Численный расчет эволюции начального распределения поля и концентрации плазмы проводился в диапазоне параметров:

$$A = 0 + 500; \quad \rho_0 = 4 + 45.$$

Условие коллапса как и в отсутствие магнитного поля $I_2 < 0$. Появление в I_2 большого положительного слагаемого, связанного с магнитным полем, приводит к тому, что коллапс развивается при существенно больших начальных плотностях заряда ρ_0 .

Рассмотрим более подробно режим $A = 100$, $\rho_0 = 19$. Расчетное распределение линий уровней $|E|^2$, соответствующее дипольной каверне имеет несколько (3 при $\rho_0 = 19$) максимумов. В процессе развития мо-

дуляционной неустойчивости центральная коллапсирующая каверна, соответствующая основному максимуму $|E|^2$ захватывает плазмоны из периферийной области. При этом выяснилось, что при малых начальных зарядах ($\rho_0 < 9$) практически вся энергия уходит в коллапс, а с ростом ρ_0 доля плазмонов в центральной коллапсирующей каверне уменьшается (этот результат имеет место и в отсутствии магнитного поля, его можно заметить из графиков для $\rho_0 = 13$ [1]). Зависимость относительной доли плазмонов в центральной коллапсирующей каверне δ от ρ_0 дана на рис. 2. Необходимо отметить, что в условиях, когда в центральной каверне коллапсирует небольшая доля плазмонов, в периферийных максимумах поля может также развиваться коллапс.

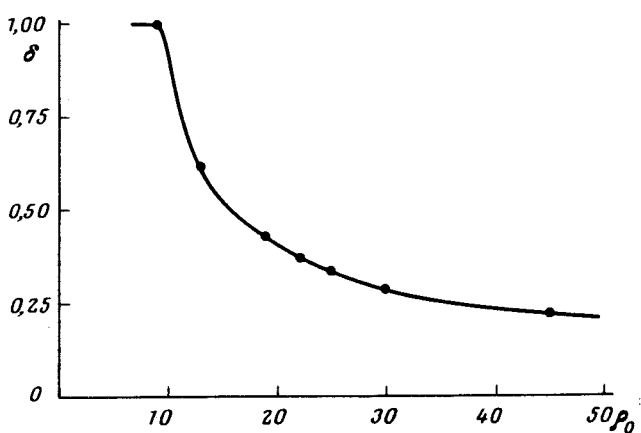


Рис. 2. Зависимость относительной доли плазмонов в основной коллапсирующей каверне δ от начального заряда ρ_0 .

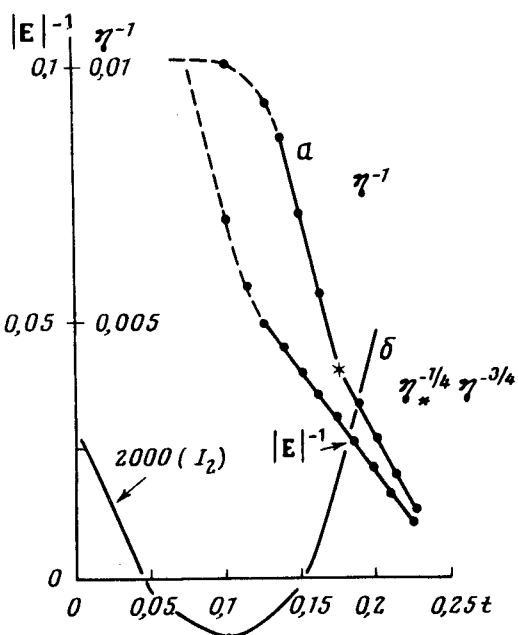


Рис. 3. Режимы автомодельности при $A = 100$, $\rho_0 = 19$: a – анизотропный, b – изотропный; * – точка изменения автомодельности, размеры каверны определены в сечении $|E|^2 = 0,5 |E|_{max}^2$.

Для сравнения численных решений с асимптотическими автомодельными решениями [4] проверялась автомодельность закона изменения характерных размеров каверны, роста поля и плотности. Из полученных результатов следует, что на начальной стадии, когда влияние магнитного поля существенно, поперечный размер каверны изменяется медленнее продольного $l_1 \sim l_{||}^2 \sim t_0 - t$ в соответствии с [4]. Законы роста поля и плотности на начальной стадии схлопывания каверны $|E|^{-1} \sim \eta^{-1} \sim t_0 - t$ (рис. 3) также соответствуют [4]. В процессе схлопывания влияние магнитного поля становится несущественным и законы изменения размеров, поля и плотности следуют изотропной каверне $l_1 \sim l_{||} \sim |E|^{-1} \sim \eta^{-\frac{3}{4}} \sim t_0 - t$. В данном режиме значение I_2 составляет в среднем 5% от слагаемых величин в (4), изменение I_2 дано на рис. 3.

Таким образом полученные численные решения подтверждают существование коллапса ленгмюровских волн в магнитном поле. Хотя магнитное поле затрудняет образование коллапса (возрастает интеграл I_2) дипольное распределение электрического поля для $I_2 < 0$ обязательно выходит в режим коллапса. При этом стационарное решение в форме трехмерного солитона [6] повидимому не реализуется.

Автор благодарит В.Д.Шapiro и В.И.Шевченко за постановку задачи и неоднократное обсуждение результатов расчетов.

Институт космических исследований
Академии наук СССР

Поступила в редакцию
1 июля 1977 г.

Литература

- [1] Л.М. Дегтярев, В.Е. Захаров. Препринт №106, ИПМ АН СССР, М., 1974.
- [2] Л.М. Дегтярев, В.Е. Захаров, Л.И. Рудаков. Физика плазмы, 3, 439, 1976.
- [3] В.Е. Захаров, А.Ф. Мастрюков, В.С. Сынах. Физика плазмы, 1, 614, 1975.
- [4] В.В. Красносельских, В.И. Сотников. Физика плазмы, 3, 418, 1977.
- [5] В.Е. Захаров. ЖЭТФ, 62, 1745, 1972.
- [6] В.И. Петвиашвили. Физика плазмы, 2, 450, 1976.